

桜井 郁雄

長谷川 正 精

Development of Contact Deformed Material

長を有する。

■いたままである。従って(1)式中での  $I_{min}$  が CEI 層

取付部

透過係数の異なる材料の境界面

M W

58

0%

00

00

00

00

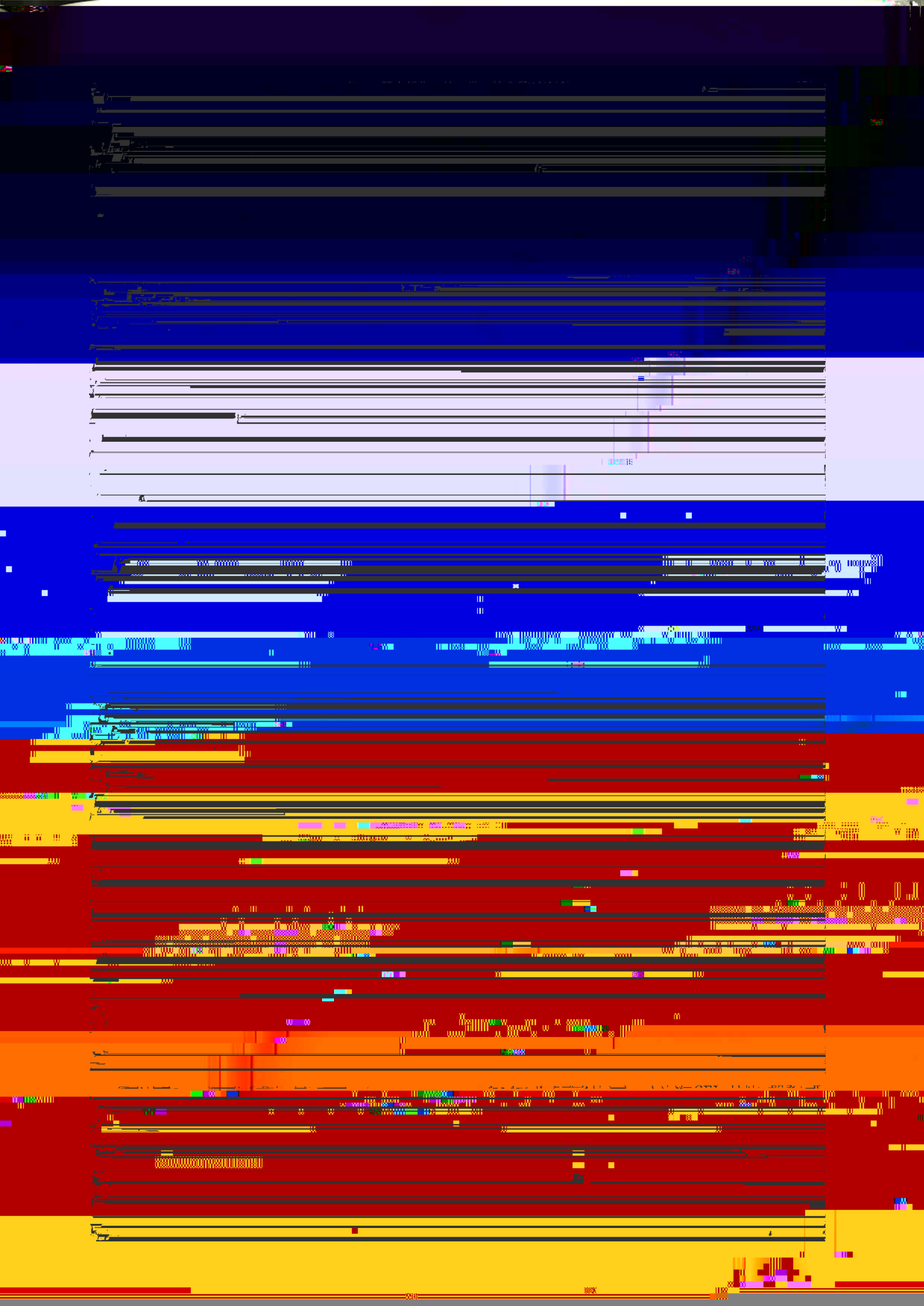
00

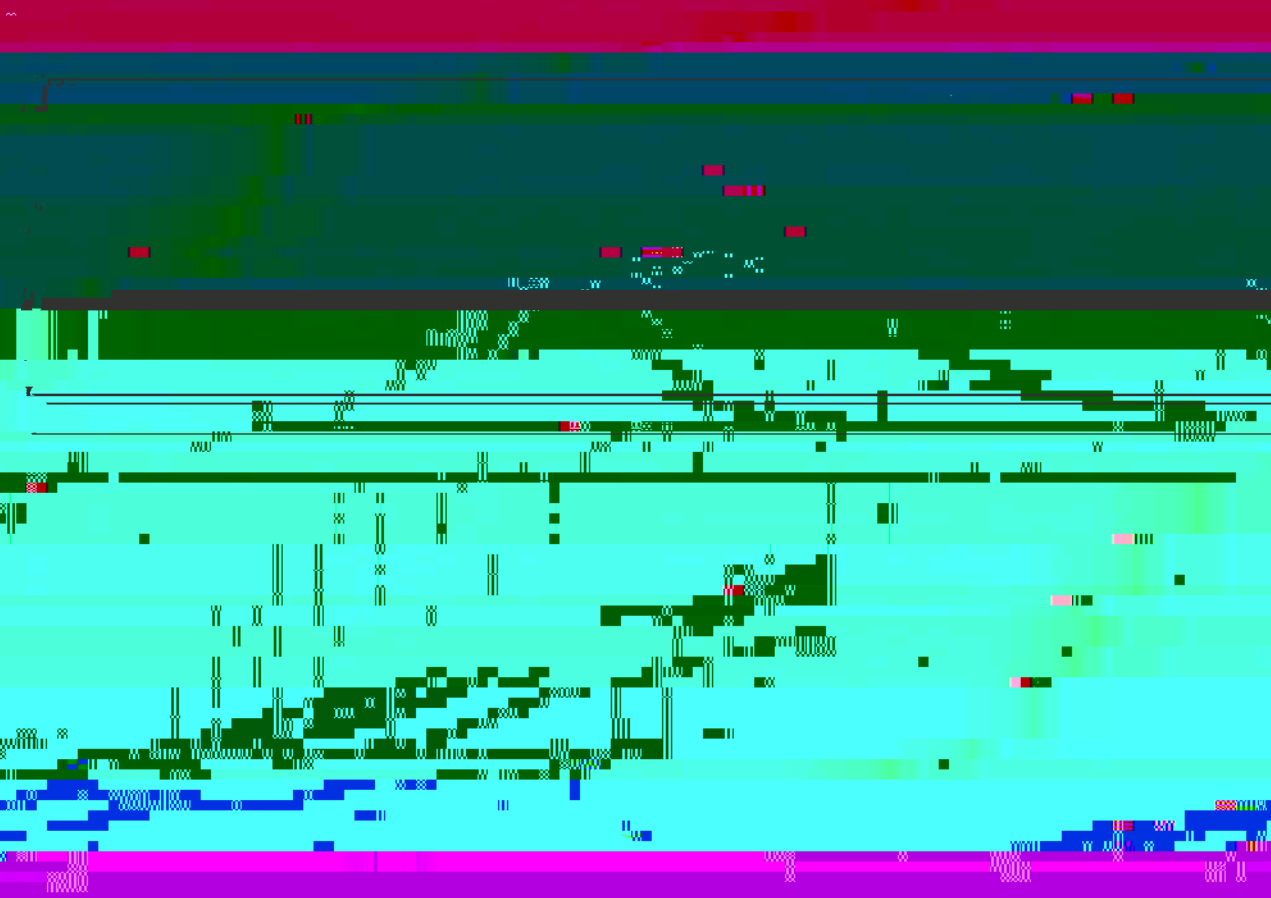
00

00

00

00





$A = 0 \mu\text{m}^{-1}$

$L \& S = 0.6 \mu\text{m}$

$--- C_2 = 0.1 \text{ cm}^2/\text{mI}$   
 $— C = 0.045 \text{ cm}^2/\text{mJ}$

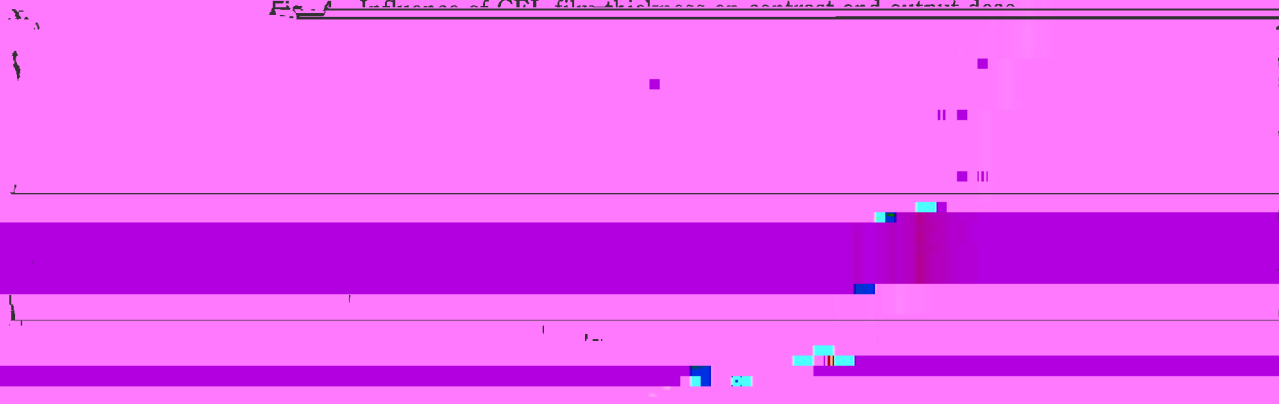
Output Dose (mJ/cm<sup>2</sup>)

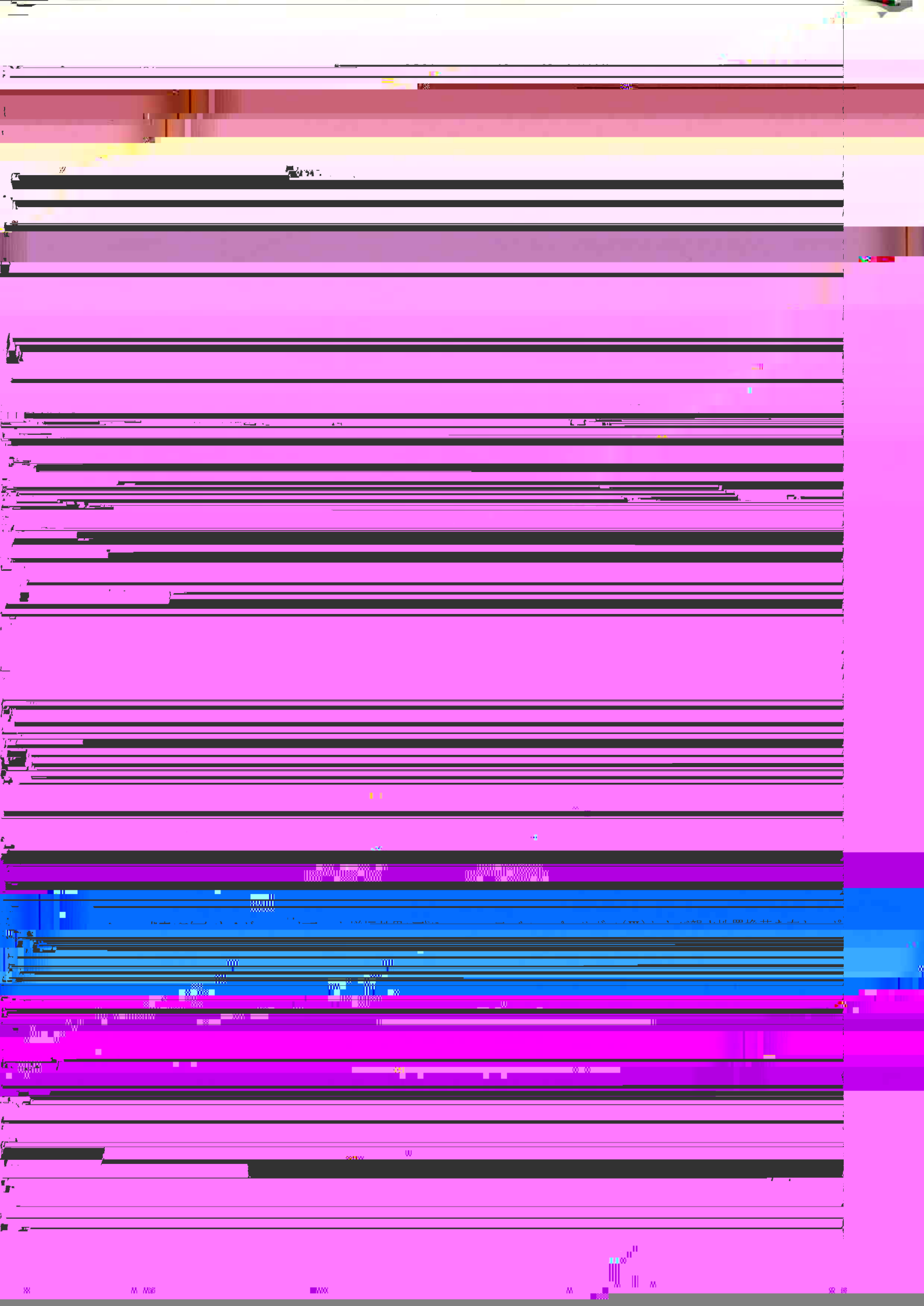
Input Dose (mI/cm<sup>2</sup>)





Fig. 4 Influence of CEL film thickness on contrast and output dose





(c) 光学特性

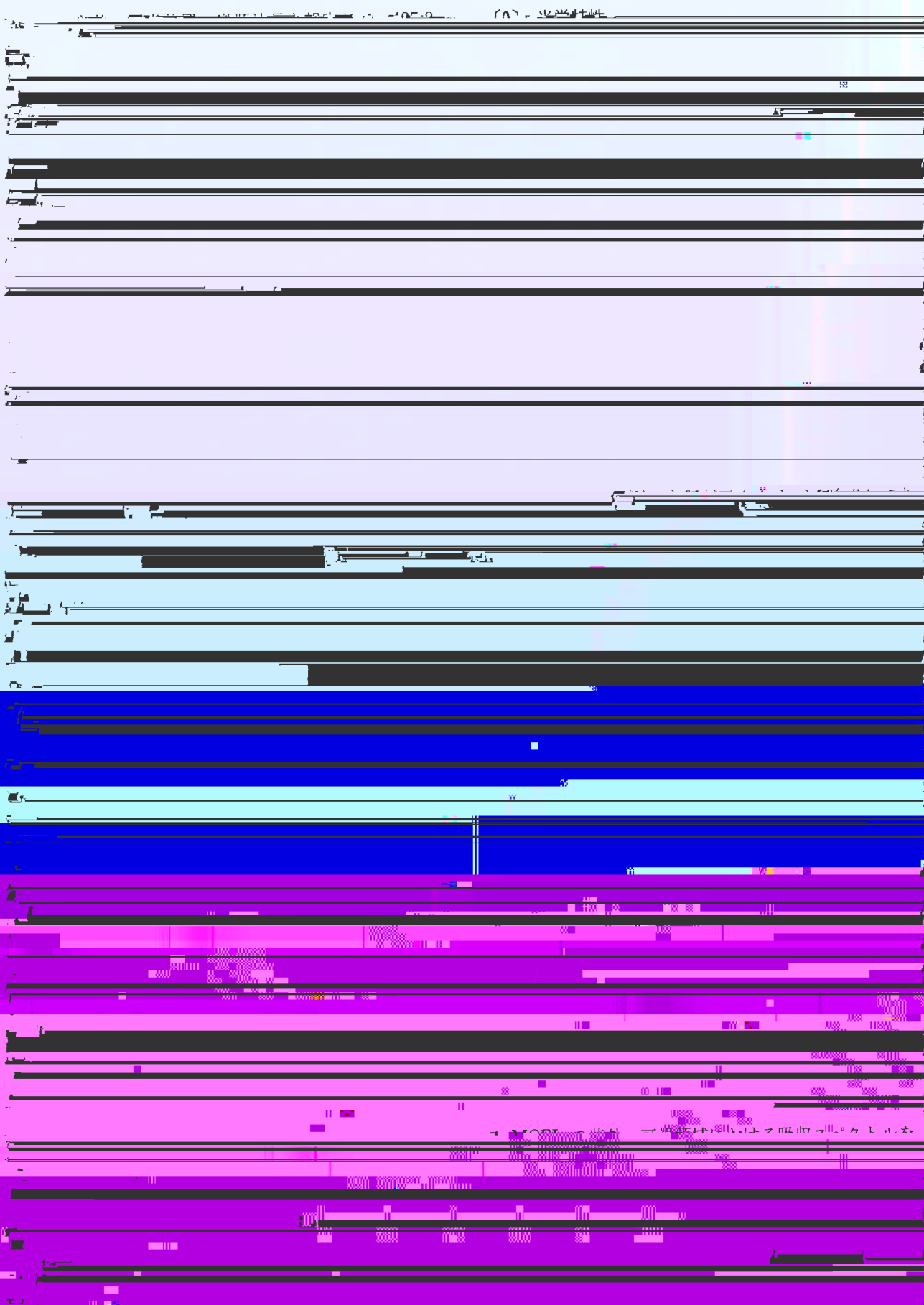
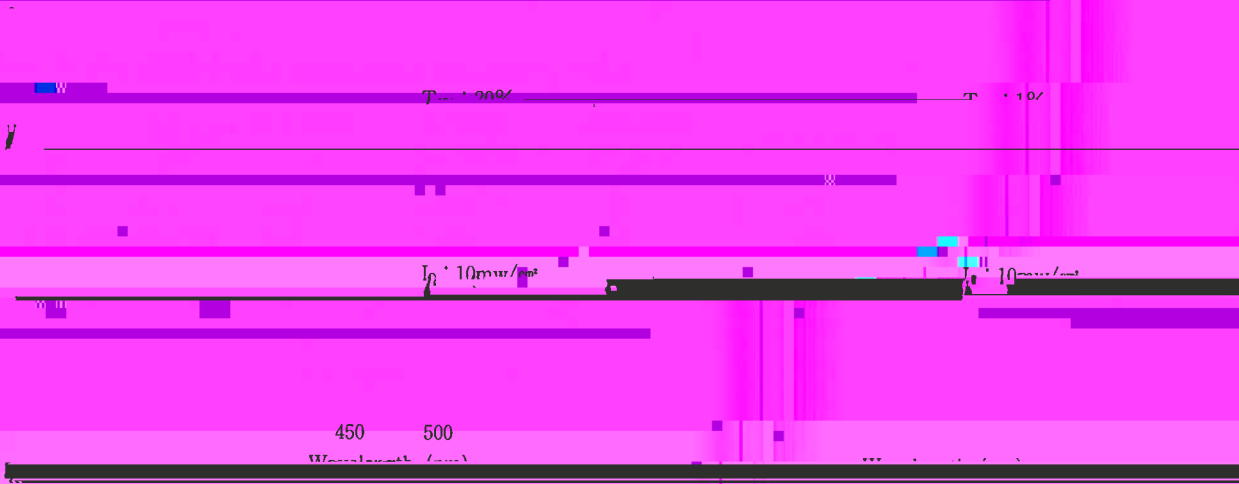
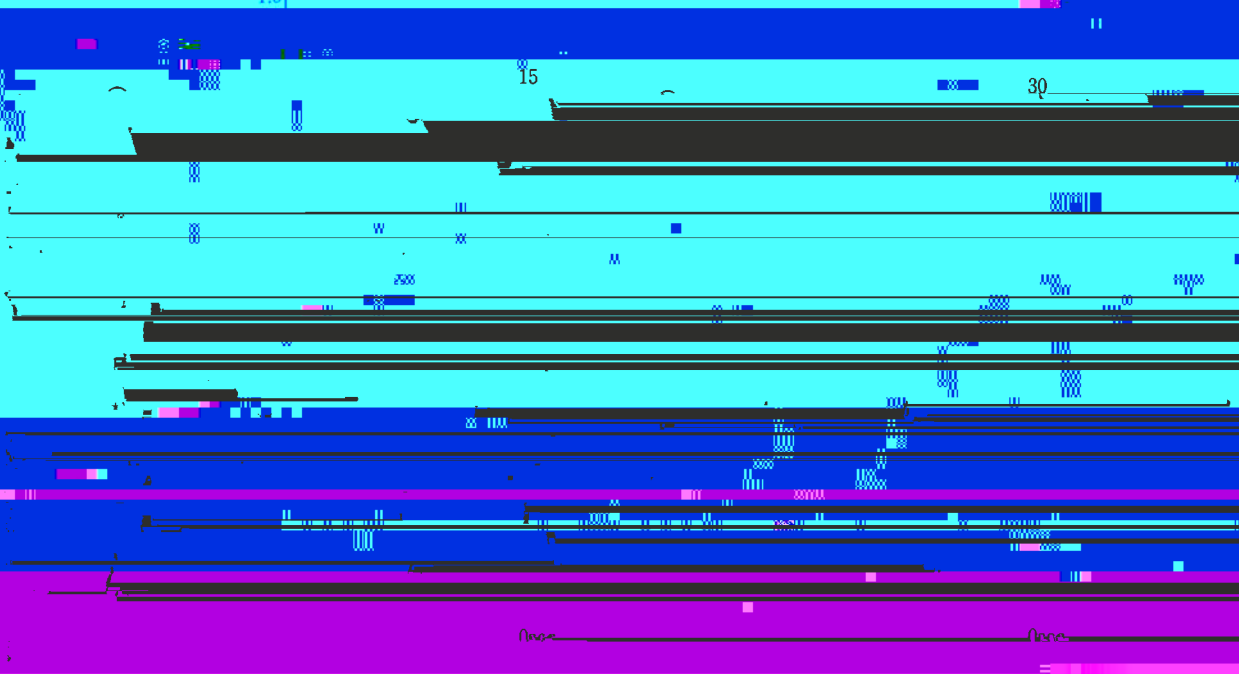
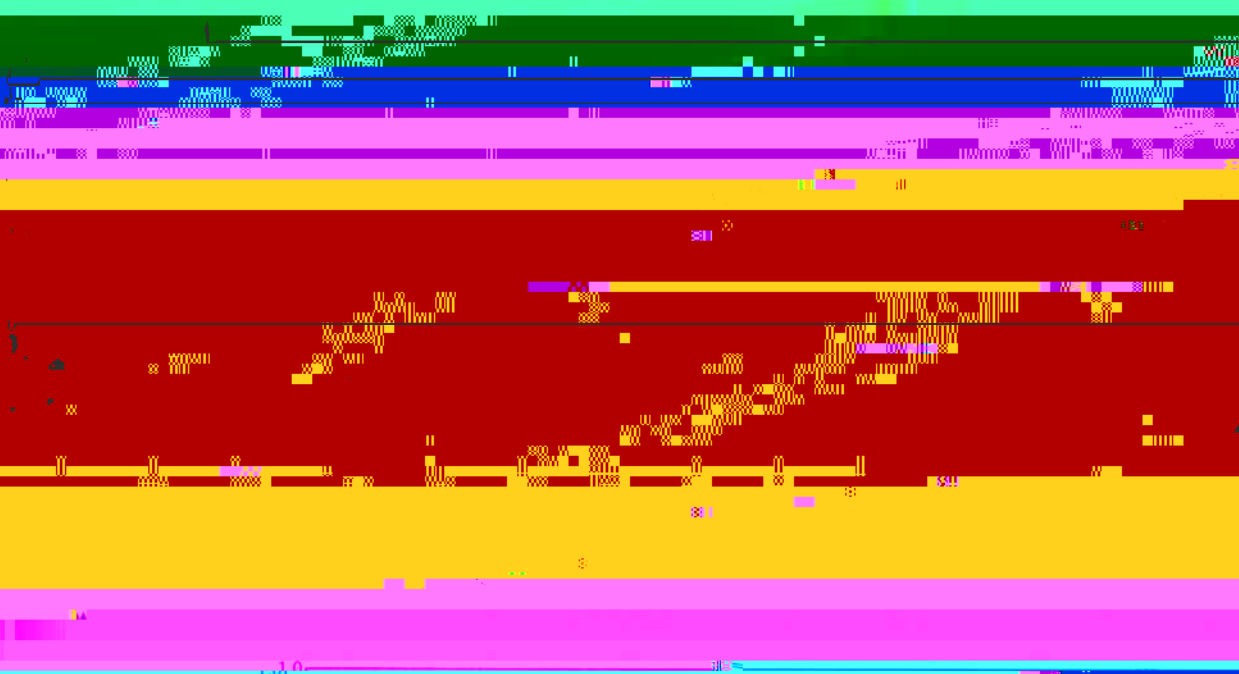
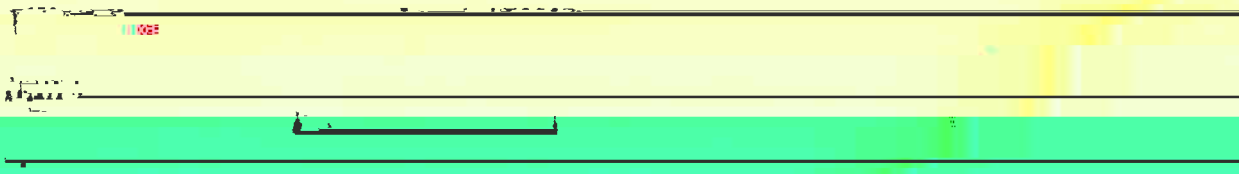
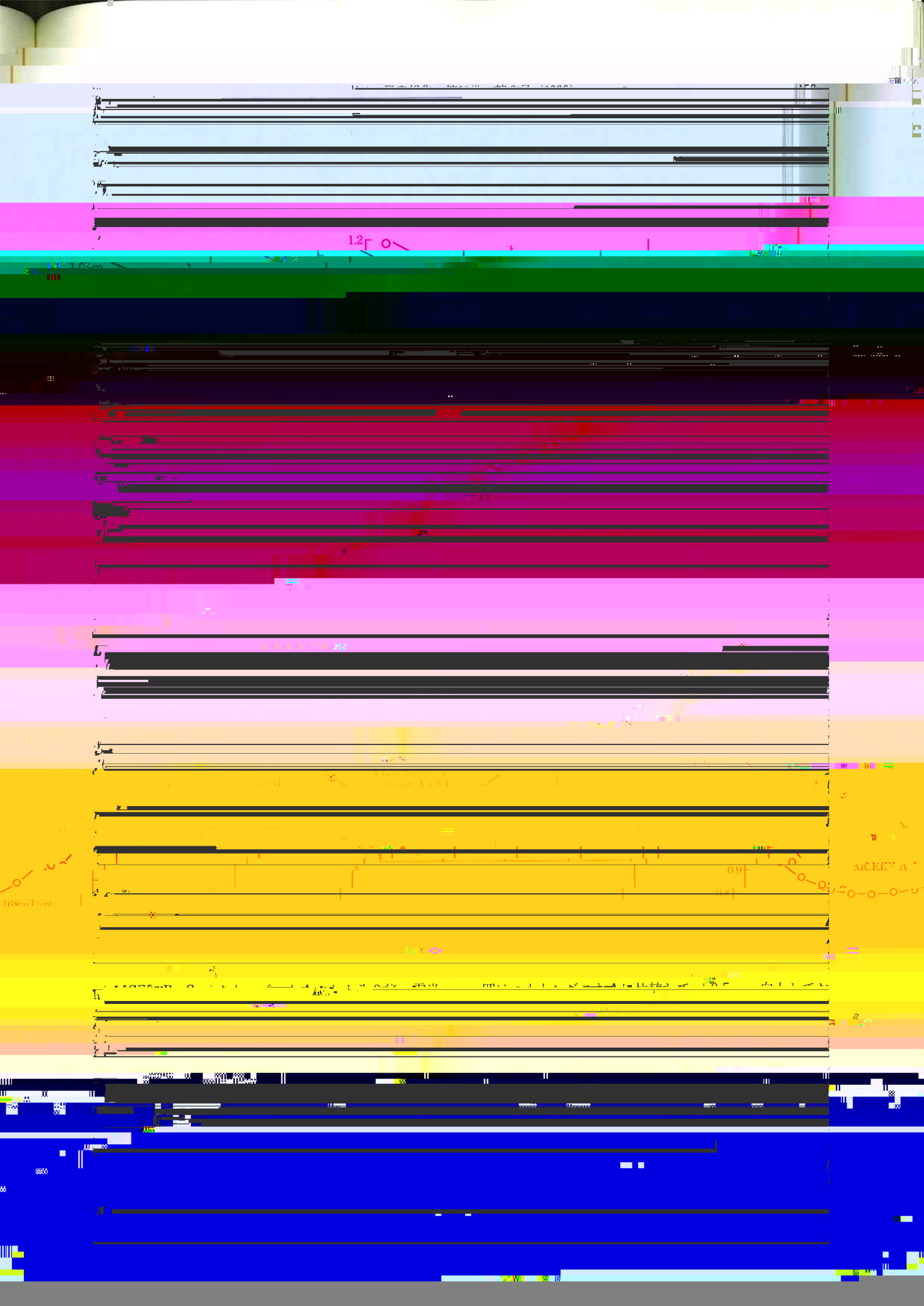
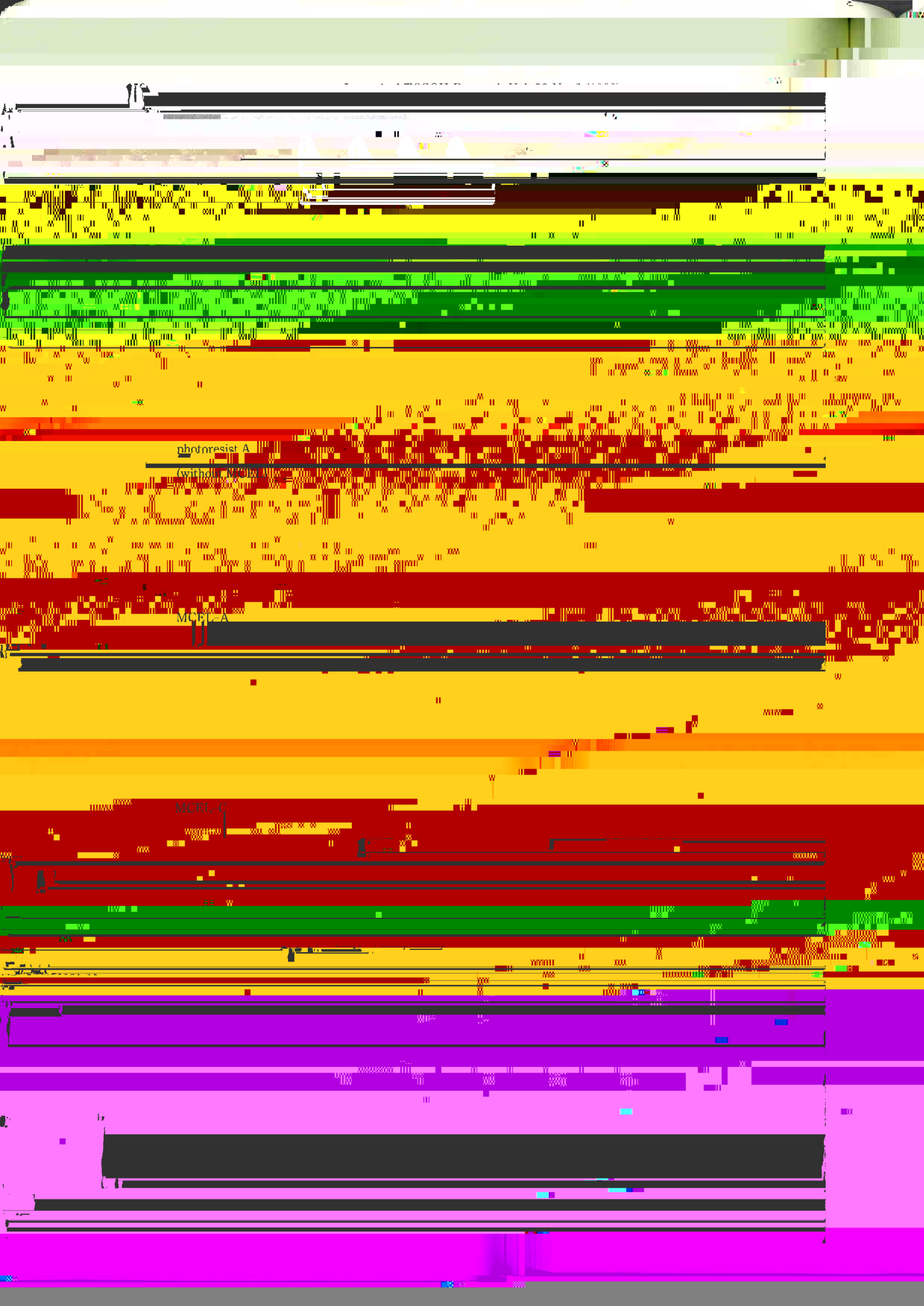


図 10. COM-10 結晶の光学的特性を示すグラフ。縦軸は透過率、横軸は波長を示す。









...  
...  
...

...  
...  
...

...  
...  
...

...  
...  
...

...  
...  
...

...  
...  
...

...  
...  
...

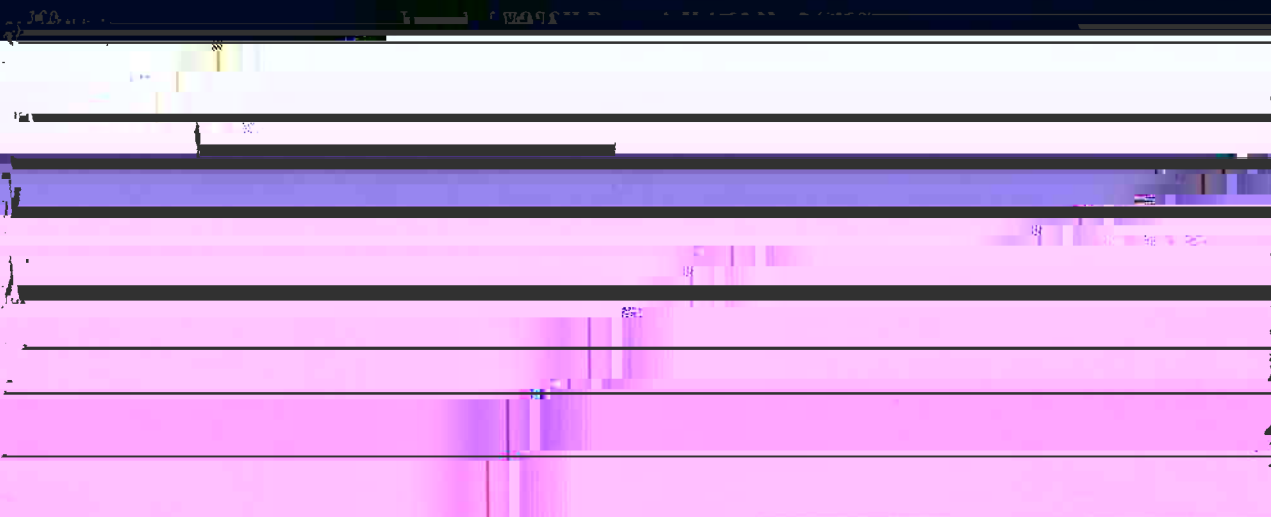
...  
...  
...

4.4. *Calculation and representation of MCEI*

...  
...  
...

...  
...  
...

...  
...  
...



4) H. Niki, M. Nakase, A. Kumagai, T. Sato, and ... 22(6) 374 (1970)

